

## بررسی فلاتر یک پرنده سه درجه آزادی

محمد رضا علیجانی نرگسی\*

کارشناس ارشد، دانشکده مهندسی هوافضا، دانشگاه صنعتی شریف، تهران alijani\_mohammadreza@yahoo.com

### چکیده

در این مقاله فلاتر یک پرنده با سه درجه آزادی بررسی شده است بدین منظور، ابتدا معادلات حاکم با روش لاگرانژ برای یک پرنده استخراج شده (در فاز کروژ) و نیز معادلات الاستیک برای یک مقطع بال استخراج شده است و سپس معادلات در فضای حالت نوشته شده است. در نهایت درجات آزادی الاستیک به معادلات صلب پرنده کوپل گردیده است. در مرحله بعد، معادلات الاستیک دم نیز به معادلات بدنه و بال کوپل شده و سپس، وضعیت پایداری پرنده با اعمال گاست ثابت مورد مطالعه قرار گرفته است. در آخر، تاثیر تلاطم سوخت نیز به صورت یک درجه آزادی دورانی (اثر پاندولی) مورد بررسی قرار گرفته و در نهایت با نوشتن کد عددی در نرم افزار MATLAB و استفاده از ایرودینامیک جونز، مسئله با روش P حل شده و پایداری جسم پرنده بررسی شده است.

**واژه های کلیدی:** اثروالاستیسیته، پدیده فلاتر، تئوری آئرو دینامیک جونز، روش لاگرانژ

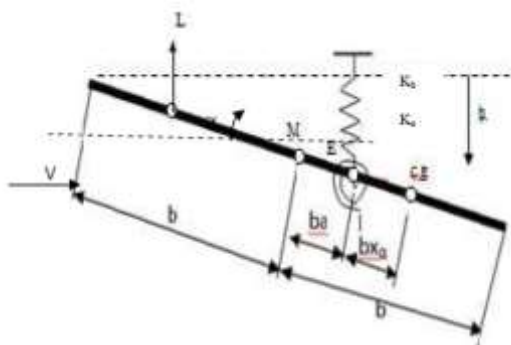
### ۱- مقدمه

در مراجع و کتب متداول مکانیک پرواز، معادلات حرکت هواپیما عموماً با فرض صلبیت سازه هواپیما بدست می آیند و از اثرات انعطاف پذیری سازه صرف نظر می گردد. در مواردی که فرکانس های طبیعی دینامیک هواپیما با فرض صلبیت، اختلاف زیادی با فرکانس های طبیعی ارتعاشی سازه داشته باشند فرض صلبیت جهت تحلیل دینامیکی هواپیما تا حد قابل قبولی با واقعیت سازگار خواهد بود. اما با افزایش انعطاف پذیری سازه و کاهش فرکانس های طبیعی ارتعاشی سازه این اختلاف کاهش یافته و فرض صلبیت سازه دیگر قابل قبول نخواهد بود.

با ساخت هواپیماهای بزرگتر با بدنه طویل و دهانه بال بسیار بیشتر در دهه پنجاه میلادی و نیز بکارگیری موتور جت و افزایش سرعت هواپیماها مشکلات متعددی که بعضاً منجر به سوانح مرگباری گردید، پدیدار گشت. همچنین بکارگیری آلیاژهای جدید و مواد مرکب نوظهور در سال های بعد باعث افزایش چشمگیر انعطاف پذیری سازه گردید؛ به گونه ای که عدم در نظر گرفتن انعطاف پذیری سازه در هواپیماهای با سرعت زیر صوت و گذر صوت بزرگ و نیز جنگنده های مافوق صوت نه تنها باعث کاهش دقت و صحت تحلیل های می گردید، بلکه نتایجی کاملاً نادرست را در اختیار تحلیل گران قرار می داد. بنابراین، پژوهشگران ناگزیر به بررسی دقیق اثرات ایروالاستیسیته روی اجسام پرنده گردیدند. به عنوان مثال، توسکو و میروویچ در مقاله خود تلاش کردند که یک فرمول بندی جامع و واحد شامل تحلیل دینامیکی، سازه ای، ایرودینامیکی و کنترلی برای پرواز یک هواپیمای انعطاف پذیر ارائه کنند. در این مقاله هم بر پایه مفاهیم دینامیک پرواز حرکت

صلب هواپیما بررسی شده و هم اجزای مختلف (بدنه، بال و دم) به صورت اجسام انعطاف پذیر در نظر گرفته شده و با وجود نیروی ایرودینامیک، پیشرانش، وزن و کنترل مورد بررسی قرار گرفته است. همچنین در این مقاله حرکت ۶ درجه برای قسمت صلب در نظر گرفته شده است. (سه درجه آزادی انتقالی و سه درجه آزادی دورانی) که در نتیجه معادلات حاکم شامل ۶ معادله دیفرانسیل مرتبه اول برای حرکت صلب و نیز یک سری معادله برای جابه جایی الاستیک هر جزء می شود [۱].

برای کنترل فلاتر روش های مختلفی هم برای ایرودینامیک و هم برای مدل سازه ای توسعه یافته است که روش المان محدود در این زمینه بسیار رایج است. پرابهو و اسنرینویاز در مقاله خود تاثیر پارامترهای هندسی بر مقطع ایرفویل با استفاده از ایرودینامیک ناپایا به منظور یافتن مقادیر بهینه برای پارامترهای هندسی با توجه به الگوریتم ژنتیک و ارزیابی دیفرانسیلی پرداخته اند [۲] مسئله بررسی شده در مقاله آنها در شکل ۱ قابل مشاهده است.



شکل ۱- شکل شماتیک مسئله مرجع [۲]

موسوی و همکارانش با بکارگیری ایرودینامیک شبه پایا و با استفاده از روش گلرکین به بررسی سرعت فلاتر بال در جریان تراکم پذیر و تراکم ناپذیر پرداختند [۳]. حدادپور و همکاران نیز رفتار ایروالاستیک سازه بال را با استفاده از ایرودینامیک شبه پایا و ناپایا برای تعیین بهترین مدل ایرودینامیکی برای تحلیل مورد بررسی قرار دادند [۴]. پارک و همکاران استفاده از نوسانات ناپایا و تبدیل آن ها به انرژی مفید مغناطیسی را بررسی کرده اند [۵].

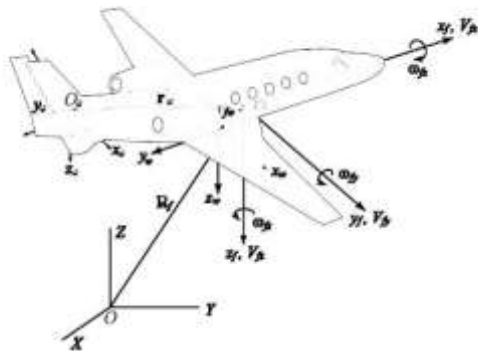
در برخی از کارهای اخیر انجام شده بررسی فلاتر در بال های یکسرگردار انجام شده و نیز رفتار فلاتر ایرفویل های الاستیک به طور تجربی بررسی شده است در این زمینه تاکاشی بار بحرانی فلاتر را برای بال با Taper مورد مطالعه قرار داده است [۶]. مامارینو نیز کاربرد ANN را برای یافتن تعداد سیکل بحرانی فلاتر را بررسی کرده است [۷].

در مقاله فاضل زاده نیز تاثیر مانور رول در ایروالاستیک استاتیکی و دینامیکی برای یک بال یکسر درگیر (شکل ۲) با فرض ایرودینامیک ناپایا

پرنده با حضور گاست مطالعه شده و در آخر اثر تلاطم سوخت نیز روی فلاتر پرنده بررسی شده است.

### ۲- استخراج معادلات حاکم

برای استخراج معادلات حاکم بر مسئله از روش لاگرانژ استفاده شده است. شماتیک مسئله مورد مطالعه در شکل ۳ نشان داده شده است. معادلات لاگرانژ برای جسم نامقید در دستگاه بدنی به صورت زیر است:



شکل ۳- شماتیک مسئله

$$\begin{aligned} \frac{d}{dt} \left( \frac{\partial T}{\partial u} \right) - r \frac{\partial T}{\partial v} + q \frac{\partial T}{\partial w} &= F_x \\ \frac{d}{dt} \left( \frac{\partial T}{\partial v} \right) - p \frac{\partial T}{\partial w} + r \frac{\partial T}{\partial u} &= F_y \\ \frac{d}{dt} \left( \frac{\partial T}{\partial w} \right) - q \frac{\partial T}{\partial u} + p \frac{\partial T}{\partial v} &= F_z \end{aligned} \quad (1)$$

$$\begin{aligned} \frac{d}{dt} \left( \frac{\partial T}{\partial p} \right) - r \frac{\partial T}{\partial q} + q \frac{\partial T}{\partial r} &= M_x \\ \frac{d}{dt} \left( \frac{\partial T}{\partial q} \right) - p \frac{\partial T}{\partial r} + r \frac{\partial T}{\partial p} &= M_y \\ \frac{d}{dt} \left( \frac{\partial T}{\partial r} \right) - q \frac{\partial T}{\partial p} + p \frac{\partial T}{\partial q} &= M_z \\ \frac{d}{dt} \left( \frac{\partial T}{\partial \dot{q}_i} \right) - \frac{\partial T}{\partial q_i} + \frac{\partial U}{\partial \dot{q}_i} &= Q_i \end{aligned}$$

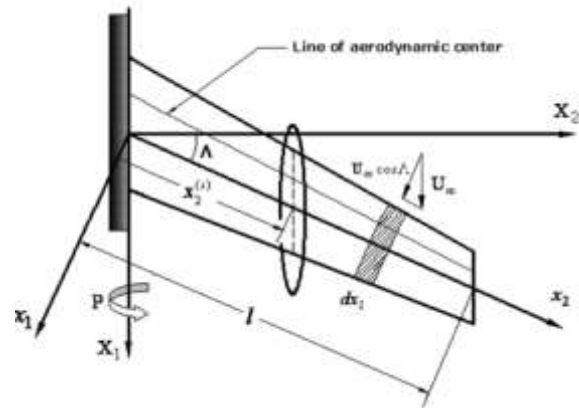
معادلات صلب پرنده را در شکل ماتریسی می توان به صورت زیر نمایش داد [۱] و [۱۶]:

$$\begin{aligned} \frac{d}{dt} \left( \frac{dL}{dV_f} \right) + \tilde{\omega}_f \frac{\partial L}{\partial V_f} - C_f \frac{\partial L}{\partial R_f} &= F \quad (2) \\ \frac{d}{dt} \left( \frac{dL}{d\omega_f} \right) + \tilde{V}_f \frac{\partial L}{\partial V_f} + \tilde{\omega}_f \frac{\partial L}{\partial \omega_f} - (E_f^T)^{-1} \frac{\partial L}{\partial \theta_f} &= M \end{aligned}$$

در معادلات فوق:

$$\begin{aligned} V_f &= \{V_{fx}, V_{fy}, V_{fz}\}^T \\ \omega_f &= \{\omega_{fx}, \omega_{fy}, \omega_{fz}\}^T \end{aligned}$$

بررسی شده است. معادلات حاکم با استفاده از روش همیلتون استخراج شده و در جات آزادی مربوط به مانور به درجات آزادی حرکت الاستیک بال کوپل شده است و حل معادلات نیز با روش گلرکین توسعه یافته انجام گرفته و تاثیر پارامترهایی مانند مانور رول، زاویه سوئیچ، جرم اضافه شده و موقعیت آن روی فلاتر و divergence بررسی شده است [۸].



شکل ۲- شماتیک مسئله مرجع [۸]

مرجع [۹] نیز به تحلیل ناپایداری فلاتر برای بال با زاویه سوئیچ در جریان مادون صوت پرداخته است. لواتی هم در مقاله خود بال سوئیچ را با جرم انتهایی مدل کرده و به بررسی اثر winglet پرداخته است [۱۰]. پاتیل و هاجز هم در مقاله خود آیرودینامیک غیر خطی را برای هواپیمای کامل مورد بررسی قرار داده اند [۱۱]. کین و لیبرسکو در مقاله ای فلاتر و واگرایی را برای بال کامپوزیتی غیر ایزوتروپیک با حضور جریان تراکم پذیر و تراکم ناپذیر بررسی کرده اند [۱۲]. فارهاث و همکاران در مقاله خود که در سال ۲۰۱۳ منتشر شد به بررسی اثر تلاطم سیال روی آیرودینامیک بال حامل محموله در رژیم های مختلف جریان پرداختند. آن ها نتیجه گرفتند که در نظر گرفتن اثر تلاطم سوخت، فشار بحرانی و سرعت فلاتر را کاهش میدهد [۱۳]. در مقاله ژانگ و همکاران که در سال ۲۰۲۱ منتشر شد آیرودینامیک یک بال با مقطع منحنی و با استفاده از اثر مرفین برای ایجاد انحنای بررسی شده است. مسئله برای هر دو مدل آیرودینامیک پایا و ناپایدار حل و مشاهده شده است که مدل آیرودینامیک ناپایدار نتایج محافظه کارانه تری را برای سرعت فلاتر بال ارائه می نماید [۱۴]. چای و همکاران نیز در سال ۲۰۲۱ با ارائه مقاله ای به مرور پیشرفت های اخیر در حوزه آیرودینامیک و همچنین کنترل فلاتر پرداخته است. آنها در مطالعه خود استراتژی های کنترلی مختلف از جمله الگوریتم های کنترل خطی و غیرخطی و همچنین نتایج کنترل فلاتر فعال بال ها و پانل ها را ارائه کرده اند [۱۵].

در مقاله حاضر سعی شده است به جای بررسی اثر یک پارامتر خاص روی بال، به طور جامع به مسئله آیرودینامیک یک پرنده پرداخته شود. بدین ترتیب که ابتدا معادلات حرکت هواپیما استخراج شده و سپس اثر انعطاف پذیری بال به معادلات کوپل شده و وضعیت پایداری دینامیکی پرنده و سرعت فلاتر آن بررسی شده است. در مرحله بعد، اثر انعطاف پذیری دم نیز روی فلاتر پرنده در نظر گرفته شده است. سپس، پایداری دینامیکی

برای یافتن نیروهای آئرو دینامیکی از تئوری نواری<sup>۲</sup> استفاده می کنیم. به این معنا که بدنه، بال و دم به عنوان یک سطح دوبعدی محسوب می شوند. در واقع نیروهای آئرو دینامیکی بر روی یک هوا بر<sup>۳</sup> دوبعدی وابسته به زاویه حمله مقطع هوا بر ( $\alpha_w$ ) فرض می شوند. نیروی برآ<sup>۴</sup> و پسا<sup>۵</sup> بر واحد طول دهانه بال به صورت زیر به دست می آیند:

$$l_w = q_w c_w C_{l_{\alpha w}} \alpha_w$$

$$\begin{aligned} d_w &= q_w c_w (C_{D_{w0}} + K_w C_{l_w}^2) \\ &= q_w c_w (C_{D_{w0}} + K_w C_{l_{\alpha w}}^2 \alpha_w^2) \end{aligned} \quad (10)$$

که در معادله فوق  $C_w$  طول وتر و  $C_{D_{w0}}$  ضریب پسا برای صفر<sup>۶</sup> می باشد؛ همچنین:

$$q_w = \frac{1}{2} \rho (\bar{V}_{wy}^2 + \bar{V}_{wz}^2) \quad (11)$$

$$\alpha_w = \tan^{-1}(\bar{V}_{wz}/\bar{V}_{wy}) + \psi_{wx} \quad (12)$$

$\bar{V}_{wz}$  و  $\bar{V}_{wy}$  مولفه های بردار سرعت هستند که از رابطه های زیر به دست می آیند. همچنین  $\psi_{wx}$  جابجایی زاویه ای بال حول محور  $X_w$  می باشد.

$$\begin{aligned} \bar{V}_w(r_w, t) &= C_w \bar{V}_f(r_w, t) + \tilde{r}_w^T C_w [\Omega_f(r_{fw}, t)] \\ &+ \tilde{r}_w^T \omega_w(t) \cong C_w \bar{V}_f \\ &+ (C_w \tilde{r}_{fw}^T + \tilde{r}_{fw}^T C_w) \omega_f \\ &+ \tilde{r}_w^T C_w \Omega_f \end{aligned} \quad (13)$$

$r_{fw}$  بردار شعاعی از مرکز دستگاه  $X_f Y_f Z_f$  به مرکز دستگاه  $X_w Y_w Z_w$  است. لذا بردار نیروهای آئرو دینامیکی به صورت زیر است:

$$f_{aw} = \begin{bmatrix} 0 \\ l_w \sin \alpha_w - d_w \cos \alpha_w \\ -l_w \cos \alpha_w - d_w \sin \alpha_w \end{bmatrix} \quad (14)$$

برای گشتاور پیچ وارد بر بال نیز داریم:

$$M_w = f_{aw} \times \tilde{R}_w \quad (15)$$

$$R_w = [r_{wx} \quad 0 \quad 0]^T \quad (16)$$

به طریق مشابه برای دم افقی خواهیم داشت:

$$l_e = q_e c_e (C_{l_{\alpha e}} \alpha_e + C_{l_{\delta e}} \delta_e) \quad (17)$$

$$(18)$$

$$F = \{F_x, F_y, F_z\}^T$$

$$M = \{M_x, M_y, M_z\}^T$$

برای نمایش بهتر و حل ساده تر مسئله، معادلات به فضای حالت برده شده اند معادلات حالت را می توان به کمک معادله لاگرانژ به دست آورد:

$$\frac{d}{dt} \left( \frac{\partial L}{\partial \dot{q}} \right) - \frac{\partial T}{\partial q} + \frac{\partial U}{\partial q} = F \quad (3)$$

با قرار دادن  $q = R_f$  در معادله ۲-۲:

$$\begin{cases} \frac{d}{dt} \left( \frac{\partial T}{\partial \dot{V}_f} \right) + \left( \omega_f \times \frac{\partial T}{\partial V_f} \right) - \frac{\partial T}{\partial R_f} + \frac{\partial U}{\partial V_f} = F \\ P := \frac{\partial T}{\partial V} = MV \Rightarrow \dot{P}_{vf} = \frac{d}{dt} \left( \frac{\partial T}{\partial V_f} \right) \\ \xrightarrow{\bar{a} \times \bar{b} = \bar{a} \bar{b}} \dot{P}_{vf} + \tilde{\omega}_f P_{vf} - \frac{\partial T}{\partial R_f} + \frac{\partial U}{\partial V_f} = F \end{cases}$$

از آن جا که انرژی جنبشی تابعی از  $R_f$  نمی باشد و  $U$  نیز از توابع شکل به دست می آید و تابع سرعت نیست، معادله فوق به صورت زیر درمی آید:

$$\dot{P}_{vf} = -\tilde{\omega}_f P_{vf} + F \quad (4)$$

با قرار دادن  $q = \theta_f$  در معادله ۲-۲:

$$\begin{aligned} \frac{d}{dt} \left( \frac{\partial T}{\partial \dot{\omega}_f} \right) + \left( \omega_f \times \frac{\partial T}{\partial V_f} \right) + \left( V_f \times \frac{\partial T}{\partial V_f} \right) - \\ E_f^{t-1} \frac{\partial T}{\partial \theta_f} + \frac{\partial U}{\partial \omega_f} = M \\ P_{\omega f} = \frac{\partial T}{\partial \omega_f} \rightarrow \\ \dot{P}_{\omega f} = \frac{d}{dt} \left( \frac{\partial T}{\partial \omega_f} \right) \end{aligned} \quad (5)$$

$$\dot{P}_{\omega f} = -\tilde{V}_f P_{vf} - \tilde{\omega}_f P_{\omega f} + M$$

بنابراین، معادلات حالت در شکل فضایی<sup>۱</sup> را می توان به صورت زیر نوشت:

$$\dot{R}_f = C_f^T V_f \quad (6)$$

$$\dot{\theta}_f = E_f^{-1} \omega_f \quad (7)$$

$$\dot{P}_{vf} = -\tilde{\omega}_f P_{vf} + F \quad (8)$$

$$\dot{P}_{\omega f} = -\tilde{V}_f P_{vf} - \tilde{\omega}_f P_{\omega f} + M \quad (9)$$

<sup>4</sup> Lift

<sup>5</sup> Drag

<sup>6</sup> Zero lift drag coefficient

<sup>1</sup> State equation in special form

<sup>2</sup> Strip Theory

<sup>3</sup> Airfoil

مولفه‌های بردار حالت در حالت اسمی در زیر آورده شده است:

$$\begin{aligned} \dot{\mathbf{R}}_f^{(0)} &= \mathbf{C}_f^{(0)T} \mathbf{V}_f^{(0)} & (26) \\ \dot{\boldsymbol{\theta}}_f^{(0)} &= (\mathbf{E}_f^{(0)})^{-1} \boldsymbol{\omega}_f^{(0)} & (27) \\ \dot{\mathbf{P}}_{vf}^{(0)} &= -\tilde{\boldsymbol{\omega}}_f^{(0)} \mathbf{P}_{vf}^{(0)} + \mathbf{F}^{(0)} & (28) \\ \dot{\mathbf{P}}_{\omega f}^{(0)} &= -\tilde{\mathbf{V}}_f^{(0)} \mathbf{P}_{vf}^{(0)} - \tilde{\boldsymbol{\omega}}_f^{(0)} \mathbf{P}_{\omega f}^{(0)} + \mathbf{M}^{(0)} & (29) \end{aligned}$$

که در آنها:

$$\mathbf{C}_f = \begin{bmatrix} \cos(\psi) \sin(\theta) \\ \cos(\psi) \sin(\theta) \sin(\phi) - \sin(\psi) \cos(\phi) \\ \cos(\psi) \sin(\theta) \cos(\phi) + \sin(\psi) \sin(\phi) \\ \sin(\psi) \cos(\theta) & -\sin(\theta) \\ \sin(\psi) \sin(\theta) \sin(\phi) + \cos(\psi) \cos(\phi) & \cos(\theta) \sin(\phi) \\ \sin(\psi) \sin(\theta) \cos(\phi) - \cos(\psi) \sin(\phi) & \cos(\theta) \cos(\phi) \end{bmatrix}$$

$$\mathbf{E}_f = \begin{bmatrix} 1 & 0 & -\sin(\theta) \\ 0 & \cos(\phi) & \cos(\theta) \sin(\phi) \\ 0 & -\sin(\phi) & \cos(\theta) \cos(\phi) \end{bmatrix}$$

$$\mathbf{F}^{(0)} = \mathbf{C}_w^T \mathbf{f}_w^{(0)} + \mathbf{C}_e^T \mathbf{f}_e^{(0)} \quad (30)$$

$$\mathbf{M}^{(0)} = \tilde{r}_{fw} \mathbf{C}_w^T \mathbf{f}_w^{(0)} + \tilde{r}_{fe} \mathbf{C}_e^T \mathbf{f}_e^{(0)} \quad (31)$$

$$\mathbf{f}_{ai}^{(0)} = \begin{bmatrix} 0 \\ l_i^{(0)} \sin \alpha_i^{(0)} - d_i^{(0)} \cos \alpha_i^{(0)} \\ -l_i^{(0)} \cos \alpha_i^{(0)} - d_i^{(0)} \sin \alpha_i^{(0)} \end{bmatrix}, \quad (32)$$

$i = w, e$

حالت اسمی نیروهای برا و پسا بر واحد سطح به صورت زیر خواهد بود:

$$\mathbf{l}_w^{(0)} = \mathbf{q}_w^{(0)} \mathbf{c}_w \mathbf{C}_{L\alpha w} \boldsymbol{\alpha}_w^{(0)} \quad (33)$$

$$\mathbf{l}_e^{(0)} = \mathbf{q}_e^{(0)} \mathbf{c}_e \mathbf{C}_{L\alpha e} \boldsymbol{\alpha}_e^{(0)} \quad (34)$$

$$d_i^{(0)} = q_i^{(0)} c_i \left[ C_{Dio} + k_i C_{L\alpha i}^2 (\alpha_i^{(0)})^2 \right], \quad (35)$$

$i = w, e$

که:

$$\begin{aligned} q_i^{(0)} &= \frac{1}{2} \rho \left[ (\bar{V}_{iy}^{(0)})^2 + (\bar{V}_{iz}^{(0)})^2 \right] \cdot \alpha_i^{(0)} & (36) \\ &= \tan^{-1} (\bar{V}_{iz}^{(0)} / \bar{V}_{iy}^{(0)}) \end{aligned}$$

بردار حالت در این حالت به صورت زیر در خواهد آمد:

$$\mathbf{d}_e = \mathbf{q}_e \mathbf{c}_e \left( \mathbf{C}_{D_{ew}} + \mathbf{K}_e \mathbf{C}_{L\alpha_e}^2 \boldsymbol{\alpha}_e^2 \right)$$

که در معادله فوق  $C_e$  وتر،  $\delta_e$  چرخش الیوتور و  $C_{L\delta_e}$  ضریب کنترلی می باشد. سایر مولفه‌ها نیز به صورت زیر تعریف می باشد:

$$\mathbf{q}_e = \frac{1}{2} \rho (\bar{V}_{ey}^2 + \bar{V}_{ez}^2) \quad (19)$$

$$\alpha_e = \tan^{-1} (\bar{V}_{ez} / \bar{V}_{ey}) + \psi_{ex} \quad (20)$$

به صورت برداری، نیروی آئرویدینامیکی بر واحد طول دم به صورت زیر نوشته می شود:

$$\mathbf{f}_{ae} = \begin{bmatrix} 0 \\ l_e \sin \alpha_e - d_e \cos \alpha_e \\ -l_e \cos \alpha_e - d_e \sin \alpha_e \end{bmatrix} \quad (21)$$

گشتاور وارد بر دم افقی مشابه بال به صورت ضرب بازوی گشتاور در نیروی آئرویدینامیکی محاسبه می شود:

$$\mathbf{M}_e = \mathbf{f}_{ae} \times \tilde{\mathbf{R}}_e \quad (22)$$

$$\mathbf{R}_e = [r_{ex} \quad 0 \quad 0]^T \quad (23)$$

### ۳- معادلات حالت

با استفاده از نظریه یکپارچه سازی<sup>۷</sup> و تئوری اغتشاشات<sup>۸</sup> هر مولفه را می توان به صورت مجموع دو قسمت باز نویسی کرد:

✓ مقدار اسمی (Nominal value)

✓ مقدار اختلالی (Perturbation value)

بنابراین:

$$\text{Total State} = \text{Nominal value} + \text{Perturbation value}$$

در ادامه ابتدا روابط مربوط به حالت اسمی (با نماد صفر) و آنگاه روابط مربوط به قسمت اختلالی (با نماد یک) آورده شده است. از آنجا که مولفه‌های حالت شامل بردار مکان ( $\mathbf{R}_f^T$ ), بردار زاویه ( $\boldsymbol{\theta}_f^T$ ), سرعت خطی ( $\mathbf{V}_f^T$ ) و سرعت زاویه‌ای ( $\boldsymbol{\omega}_f^T$ ) می باشد، لذا بردار حالت به شکل زیر در خواهد آمد:

$$\mathbf{X} = [\mathbf{R}_f^T \quad \boldsymbol{\theta}_f^T \quad \mathbf{P}_{vf}^T \quad \mathbf{P}_{\omega f}^T]^T \quad (24)$$

### ۳-۱- روابط حالت اسمی

بردار حالت در این حالت به صورت زیر است:

$$\mathbf{X}^{(0)} = [\mathbf{R}_f^{(0)T} \quad \boldsymbol{\theta}_f^{(0)T} \quad \mathbf{P}_{vf}^{(0)T} \quad \mathbf{P}_{\omega f}^{(0)T}]^T \quad (25)$$

<sup>8</sup> Perturbation theory

<sup>7</sup> Unified theory

$$C_{f\theta}^{(0)} = \frac{\partial C_f \text{ for } \psi^{(0)}, \theta^{(0)}, \phi^{(0)}}{\partial \theta} \begin{bmatrix} -c\psi^{(0)}s\theta^{(0)} \\ c\psi^{(0)}c\theta^{(0)}s\phi^{(0)} \\ c\psi^{(0)}c\theta^{(0)}c\phi^{(0)} \\ -s\psi^{(0)}s\theta^{(0)} & -c\theta^{(0)} \\ s\psi^{(0)}c\theta^{(0)}s\phi^{(0)} & -s\theta^{(0)}s\phi^{(0)} \\ s\psi^{(0)}c\theta^{(0)}c\phi^{(0)} & -s\theta^{(0)}c\phi^{(0)} \end{bmatrix}$$

$$E_{f\theta}^{(0)} = \frac{\partial E_f \text{ for } \theta^{(0)}, \phi^{(0)}}{\partial \theta} \begin{bmatrix} 0 & 0 & -c\theta^{(0)} \\ 0 & 0 & -s\theta^{(0)}s\phi^{(0)} \\ 0 & 0 & -s\theta^{(0)}c\phi^{(0)} \end{bmatrix}$$

البته در این مسئله زوایای  $\psi$  و  $\phi$  صفر می باشد.

$$\bar{V}_f^{(0)} = V_f^{(0)} \quad (۴۸)$$

$$\bar{V}_f^{(1)} = V_f^{(1)} + \tilde{\gamma}_f^T \omega_f^{(0)} \quad (۴۹)$$

در روابط بالا،  $P_{\omega_f}^{(1)}$  و  $P_{v_f}^{(1)}$  به صورت زیر نوشته می شود:

$$P_{V_f}^{(1)} = mV_f^{(1)} + \tilde{S}^{(1)T} \omega_f^{(0)} + \tilde{S}^{(0)T} \omega_f^{(1)} \quad (۵۰)$$

$$P_{\omega_f}^{(1)} = \tilde{S}^{(1)} V_f^{(0)} + \tilde{S}^{(0)} V_f^{(1)} + J^{(1)} \omega_f^{(0)} + J^{(0)} \omega_f^{(1)} \quad (۵۱)$$

با جایگذاری رابطه (۵۰) و (۵۱) در معادله (۴۴) و (۴۵) مولفه‌های  $\dot{P}_{V_f}^{(1)}$  و  $\dot{P}_{\omega_f}^{(1)}$  به صورت زیر به دست خواهند آمد:

$$\begin{cases} \dot{P}_{v_{fx}} = -m\omega_f^{(0)} V_{fx}^{(1)} - s^{(0)T} \tilde{\omega}_f^{(0)} \omega_{fx}^{(1)} \\ \dot{P}_{v_{fy}} = (-m\omega_f^{(0)} + \rho SV_0 (C_L \sin \alpha_0 - C_D \cos \alpha_0)) V_{fy}^{(1)} - \frac{1}{2} \rho SV_0^2 (C_L + C_D \sin \alpha_0) \theta_{fy}^{(1)} - \tilde{s}^{(0)T} \tilde{\omega}_f^{(0)} \omega_{fy}^{(1)} \\ \dot{P}_{v_{fz}} = (-m\omega_f^{(0)} + \rho SV_0 (C_L \cos \alpha_0 + C_D \sin \alpha_0)) V_{fz}^{(1)} - \frac{1}{2} \rho SV_0^2 (C_D - C_L \sin \alpha_0) \theta_{fz}^{(1)} - \tilde{s}^{(0)T} \tilde{\omega}_f^{(0)} \omega_{fz}^{(1)} \end{cases}$$

$$\begin{cases} \dot{P}_{\omega_{fx}} = (-m\tilde{V}_f^{(0)} - \tilde{s}^{(0)T} \tilde{\omega}_f^{(0)}) V_{fx}^{(1)} + (-\tilde{s}^{(0)T} \tilde{V}_f^{(0)} - J\tilde{\omega}_f^{(0)}) \omega_{fx}^{(1)} \\ \dot{P}_{\omega_{fy}} = (-m\tilde{V}_f^{(0)} - \tilde{s}^{(0)T} \tilde{\omega}_f^{(0)} + \rho SV_0 (C_L \cos \alpha_0 + C_D \sin \alpha_0) R_x) V_{fy}^{(1)} + \frac{R_x}{2} \rho SV_0^2 (C_D - C_L \sin \alpha_0) \theta_{fy}^{(1)} + (-\tilde{s}^{(0)T} \tilde{V}_f^{(0)} - J\tilde{\omega}_f^{(0)}) \omega_{fy}^{(1)} \\ \dot{P}_{\omega_{fz}} = (-m\tilde{V}_f^{(0)} - \tilde{s}^{(0)T} \tilde{\omega}_f^{(0)} + \rho SV_0 (C_L \sin \alpha_0 - C_D \cos \alpha_0) R_x) V_{fz}^{(1)} + \frac{R_x}{2} \rho SV_0^2 (C_L + C_D \sin \alpha_0) \theta_{fz}^{(1)} + (-\tilde{s}^{(0)T} \tilde{V}_f^{(0)} - J\tilde{\omega}_f^{(0)}) \omega_{fz}^{(1)} \end{cases}$$

$$X^{(0)} = \begin{bmatrix} R_f^{(0)T} & \theta_f^{(0)T} & P_{v_f}^{(0)T} & P_{\omega_f}^{(0)T} \end{bmatrix}^T \quad (۳۷)$$

که:

$$P_{v_f}^{(0)} = mV_f^{(0)} + \tilde{S}^{(0)T} \omega_f^{(0)} \quad (۳۸)$$

$$P_{\omega_f}^{(0)} = \tilde{S}^{(0)} V_f^{(0)} + J^{(0)} \omega_f^{(0)} \quad (۳۹)$$

با جایگذاری معادله (۳۸) و (۳۹) در معادله (۲۸) و (۲۹)، شکل ماتریسی معادلات حالت در حالت اسمی به دست می آید:

$$\begin{bmatrix} 1 & 0 & 0 & 0 \\ 0 & 1 & 0 & 0 \\ 0 & 0 & m & \tilde{S} \\ 0 & 0 & \tilde{S} & J \end{bmatrix} \begin{bmatrix} \dot{R}_f^{(0)} \\ \dot{\theta}_f^{(0)} \\ \dot{V}_f^{(0)} \\ \dot{\omega}_f^{(0)} \end{bmatrix} = \begin{bmatrix} 0 & 0 & C_f^T & 0 \\ 0 & 0 & 0 & E_f^T \\ 0 & 0 & -m\tilde{\omega}_f & S\tilde{\omega}_f \\ 0 & 0 & -m\tilde{V}_f - S\tilde{\omega}_f & -S\tilde{V}_f - J\tilde{\omega}_f \end{bmatrix} \begin{bmatrix} R_f^{(0)} \\ \theta_f^{(0)} \\ V_f^{(0)} \\ \omega_f^{(0)} \end{bmatrix} \quad (۴۰)$$

### ۳-۲- روابط حالت اختلالی

روابط حالت اختلالی مشابه حالت اسمی به دست می آید. بردار حالت در این حالت برابر است با:

$$X^{(1)} = \begin{bmatrix} R_f^{(1)T} & \theta_f^{(1)T} & P_{v_f}^{(1)T} & P_{\omega_f}^{(1)T} \end{bmatrix}^T \quad (۴۱)$$

که مولفه‌های بردار حالت به صورت زیر خواهد بود:

$$\dot{R}_f^{(1)} = C_f^{(0)T} V_f^{(1)} + C_f^{(1)T} V_f^{(0)} \quad (۴۲)$$

$$\dot{\theta}_f^{(1)} = (E_f^{(0)})^{-1} \omega_f^{(1)} - (E_f^{(0)})^{-1} E_f^{(1)} (E_f^{(0)})^{-1} \omega_f^{(0)} \quad (۴۳)$$

$$\dot{P}_{v_f}^{(1)} = -\tilde{\omega}_f^{(1)} P_{v_f}^{(0)} - \tilde{\omega}_f^{(0)} P_{v_f}^{(1)} + F^{(1)} \quad (۴۴)$$

$$\dot{P}_{\omega_f}^{(1)} = -\tilde{V}_f^{(1)} P_{\omega_f}^{(0)} - \tilde{V}_f^{(0)} P_{\omega_f}^{(1)} - \tilde{\omega}_f^{(1)} P_{\omega_f}^{(0)} - \tilde{\omega}_f^{(0)} P_{\omega_f}^{(1)} + M^{(1)} \quad (۴۵)$$

که در آن:

$$C_f^{(1)} = C_{f\theta}^{(0)} \theta^{(1)} \quad (۴۶)$$

$$E_f^{(1)} = E_{f\theta}^{(0)} \theta^{(1)} \quad (۴۷)$$

و:

$$\begin{bmatrix} 0 & 0 \\ 0 & 0 \\ 0 & 0 \\ 0 & 0 \\ 0 & 0 \\ 0 & 0 \\ 0 & 0 \\ 0 & 0 \\ 0 & 0 \\ 0 & 0 \\ 0 & 0 \\ 0 & 0 \\ 0 & 0 \\ 0 & 0 \end{bmatrix} \begin{bmatrix} R_{fx} \\ R_{fy} \\ R_{fz} \\ \theta_{fx} \\ \theta_{fy} \\ \theta_{fz} \\ V_{fx} \\ V_{fy} \\ V_{fz} \\ \omega_{fx} \\ \omega_{fy} \\ \omega_{fz} \end{bmatrix}$$

در ماتریس فوق از حروف انگلیسی برای برخی از عبارتها استفاده شده است که به صورت زیر تعریف می‌شوند:

$$\begin{aligned} a &= -m\omega_f^{(0)} + \rho SV_0(C_L \sin \alpha_0 - C_D \cos \alpha_0) \\ b &= -\frac{1}{2} \rho SV_0^2(C_L + C_D \sin \alpha_0) \\ c &= -m\omega_f^{(0)} + \rho SV_0(C_L \cos \alpha_0 + C_D \sin \alpha_0) \\ d &= -\frac{1}{2} \rho SV_0^2(C_D - C_L \sin \alpha_0)\theta_{fy}^{(1)} \\ e &= -m\tilde{V}_f^{(0)} - \tilde{s}^{(0)T} \tilde{\omega}_f^{(0)} \\ g &= \frac{R_x}{2} \rho SV_0^2(C_L + C_D \sin \alpha_0)\theta_{fy}^{(1)} \\ h &= -m\tilde{V}_f^{(0)} - \tilde{s}^{(0)T} \tilde{\omega}_f^{(0)} + \rho SV_0(C_L \cos \alpha_0 + C_D \sin \alpha_0)R_x \\ i &= \frac{R_x}{2} \rho SV_0^2(C_D - C_L \sin \alpha_0)\theta_{fy}^{(1)} \\ k &= -m\tilde{V}_f^{(0)} - \tilde{s}^{(0)T} \tilde{\omega}_f^{(0)} + \rho SV_0(C_L \sin \alpha_0 - C_D \cos \alpha_0)R_x V_{fz}^{(1)} \end{aligned}$$

#### ۴- تحلیل و ارائه نتایج

در این بخش با استفاده از نتایج و معادلات به دست آمده در قسمت قبل و افزودن معادلات الاستیک برای تشکیل دستگاه معادلات اصلی به منظور تحلیل فلاتر، یک هوابر نمونه را در نظر گرفته و حل برای آن انجام می‌گیرد. این هوابر یک سیستم دو درجه آزادی را مدل میکند که توسط تئودورسن و گریک در گزارش معروفشان استفاده شده است [۱۷] و [۱۸]. آنها پیشنهاد دادند که برای پیش بینی فلاتر به صورت تحلیلی، خواص داخلی و هندسی یک بال سه بعدی با اسپن<sup>۹</sup> بزرگ و بدون تیپر<sup>۱۱</sup> را می‌توان با تقریب خوبی به صورت یک هوابر دوبعدی در  $3/4$  فاصله از ریشه بال، در نظر گرفت. این پیشنهاد برای بال‌های با اسپن بزرگ، زاویه سویپ<sup>۱۱</sup> کوچک و تغییرات کم در راستای اسپن، صادق است.

#### ۴-۱- به دست آوردن نمودارهای آئرویدینامیک تقریب جونز

مشابه بخش ۲ که برای تحلیل دینامیک پرواز شش معادله (براساس تعداد متغیرهای حالت) به دست آمد، برای تحلیل فلاتر نیز شش معادله دیگر به سیستم معادلات افزوده می‌شود.

در این بخش با استفاده از معادلات زیر و در نظر گرفتن مشخصات هوابر نمونه، نمودار آئرویدینامیک تقریب جونز را بازتولید می‌کنیم. در بخش بعد

همچنین بردار نیرو و گشتاور در حالت اختلالی به صورت زیر خواهد بود:

$$\mathbf{F}^{(0)} = \mathbf{C}_w^T \mathbf{f}_w^{(1)} + \mathbf{C}_e^T \mathbf{f}_e^{(1)} \quad (52)$$

$$\mathbf{M}^{(0)} = \tilde{\mathbf{r}}_{fw} \mathbf{C}_w^T \mathbf{f}_w^{(1)} + \tilde{\mathbf{r}}_{fe} \mathbf{C}_e^T \mathbf{f}_e^{(1)} \quad (53)$$

که بردار نیروهای آئرویدینامیکی به صورت زیر نوشته می‌شود:

$$\mathbf{f}_{ai}^{(0)} = \begin{bmatrix} 0 \\ l_i^{(1)} \sin \alpha_i^{(0)} - d_i^{(1)} \cos \alpha_i^{(0)} \\ + (-l_i^{(0)} \cos \alpha_i^{(0)} - d_i^{(0)} \sin \alpha_i^{(0)}) \\ -l_i^{(1)} \cos \alpha_i^{(0)} - d_i^{(1)} \sin \alpha_i^{(0)} \\ + (l_i^{(0)} \sin \alpha_i^{(0)} - d_i^{(0)} \cos \alpha_i^{(0)}) \alpha_i^{(1)} \end{bmatrix} \quad (54)$$

$$\mathbf{i} = \mathbf{w} \cdot \mathbf{e}$$

در روابط فوق حالت اختلالی نیروهای برآ و پسا بر واحد سطح به صورت زیر خواهد بود:

$$\begin{aligned} l_w^{(1)} &= q_w^{(1)} c_w C_{Law} \alpha_w^{(0)} + q_w^{(0)} c_w C_{Law} \alpha_w^{(1)} \\ l_e^{(1)} &= q_e^{(1)} c_e (C_{Lae} \alpha_e^{(0)} + C_{L\delta e} \delta_e) \\ &\quad + q_e^{(0)} c_e C_{Lae} \alpha_e^{(1)} \\ d_i^{(0)} &= q_i^{(1)} c_i [C_{Dio} + k_i C_{Lai}^2 (\alpha_i^{(0)})^2] \\ &\quad + 2q_i^{(0)} c_i C_{Lai} \alpha_i^{(0)} \alpha_i^{(1)} \end{aligned} \quad (55)$$

که در آن:

$$\begin{aligned} q_i^{(1)} &= \rho (\bar{V}_{iy}^{(0)} \bar{V}_{iy}^{(1)} + \bar{V}_{iz}^{(0)} \bar{V}_{iz}^{(1)}) \\ \alpha_i^{(1)} &= \tan^{-1} \left( \frac{\bar{V}_{iy}^{(0)} \bar{V}_{iz}^{(1)} - \bar{V}_{iy}^{(1)} \bar{V}_{iz}^{(0)}}{(\bar{V}_{iy}^{(0)})^2 + (\bar{V}_{iz}^{(0)})^2} \right) \end{aligned}$$

حال می‌توان ماتریس معادلات را تشکیل داد و با استفاده از آن به تحلیل پایداری وسیله پرداخت. در زیر ماتریس معادلات حالت آورده شده است:

$$\begin{bmatrix} 1 & 0 \\ 0 & 1 & 0 & 0 & 0 & 0 & 0 & 0 & 0 & 0 & 0 & 0 & 0 & 0 & 0 & 0 & 0 & 0 & 0 & 0 & 0 \\ 0 & 0 & 1 & 0 & 0 & 0 & 0 & 0 & 0 & 0 & 0 & 0 & 0 & 0 & 0 & 0 & 0 & 0 & 0 & 0 & 0 \\ 0 & 0 & 0 & 1 & 0 & 0 & 0 & 0 & 0 & 0 & 0 & 0 & 0 & 0 & 0 & 0 & 0 & 0 & 0 & 0 & 0 \\ 0 & 0 & 0 & 0 & 1 & 0 & 0 & 0 & 0 & 0 & 0 & 0 & 0 & 0 & 0 & 0 & 0 & 0 & 0 & 0 & 0 \\ 0 & 0 & 0 & 0 & 0 & 1 & 0 & 0 & 0 & 0 & 0 & 0 & 0 & 0 & 0 & 0 & 0 & 0 & 0 & 0 & 0 \\ 0 & 0 & 0 & 0 & 0 & 0 & 0 & m & 0 & 0 & 0 & 0 & 0 & 0 & 0 & 0 & 0 & 0 & 0 & 0 & 0 \\ 0 & 0 & 0 & 0 & 0 & 0 & 0 & 0 & m & 0 & 0 & 0 & 0 & 0 & 0 & 0 & 0 & 0 & 0 & 0 & 0 \\ 0 & 0 & 0 & 0 & 0 & 0 & 0 & 0 & 0 & m & 0 & 0 & 0 & 0 & 0 & 0 & 0 & 0 & 0 & 0 & 0 \\ 0 & 0 \\ 0 & 0 \\ 0 & 0 \\ 0 & 0 \end{bmatrix} \begin{bmatrix} \dot{R}_{fx} \\ \dot{R}_{fy} \\ \dot{R}_{fz} \\ \dot{\theta}_{fx} \\ \dot{\theta}_{fy} \\ \dot{\theta}_{fz} \\ \dot{V}_{fx} \\ \dot{V}_{fy} \\ \dot{V}_{fz} \\ \dot{\omega}_{fx} \\ \dot{\omega}_{fy} \\ \dot{\omega}_{fz} \end{bmatrix} =$$

<sup>11</sup> Sweep

<sup>9</sup> Span  
<sup>10</sup> Taper

نیز با استفاده از دوازده معادله مذکور (شامل شش معادله دینامیک پرواز و شش معادله فلاتر) نمودارهای فلاتر ترسیم می گردند. معادلات آئرو دینامیک تقریب جونز به صورت زیر می باشد [۱۹]:

$$\bar{V}_w(r_w, t) = C_w V_f + [C_w(\tilde{r}_w + \tilde{u}_w)^T C_w] \omega_f + \tilde{r}_w^T \alpha_w + v_w \quad (66)$$

$Q_{\psi w}$  نیروهای آئرو دینامیکی را نشان می دهد.  $\alpha_w$  و  $v_w$   $u_w$ ،  $\tilde{r}_w$  خمش و پیچش هستند. در نهایت، انرژی جنبشی از رابطه زیر محاسبه می گردد:

$$T = \frac{1}{2} \int \bar{V}_f^T \bar{V}_f dm_f + \frac{1}{2} \int \bar{V}_w^T \bar{V}_w dm_w + \frac{1}{2} \int \bar{V}_e^T \bar{V}_e dm_e = \frac{1}{2} V^T M V \quad (67)$$

که بردار سرعت در حالت کلی به صورت زیر تعریف می شود:

$$V = [V_f^T \ \omega_f^T \ S_{uf}^T \ S_{uw}^T \ S_{ue}^T \ S_{wf}^T \ S_{\psi w}^T \ S_{ue}^T]^T = [V_1^T \ V_2^T \ V_3^T \ V_4^T \ V_5^T \ V_6^T \ V_7^T \ V_8^T]^T$$

باتوجه به این که در این بخش ما صرفاً با تحلیل فلاتر بال می پردازیم، تنها مولفه هایی که دارای زیروند هستند (بیانگر بال) باقی می ماند. بنابراین تنها مولفه های ۴، ۲، ۱ و ۷ بردار سرعت باقی خواهند ماند. درایه های ماتریس  $M$  نیز با استفاده از تعریف انرژی جنبشی به دست می آید:

$$\begin{aligned} M_{11} &= mI \\ M_{12} &= \bar{S}^T \\ M_{14} &= C_w^T \int \Phi_{uw} dm_w \\ M_{17} &= C_w^T \int \tilde{r}_w^T \Phi_{\psi w} dm_w \\ M_{21} &= M_{12}^T \\ M_{22} &= J \\ M_{24} &= \int [C_w(\tilde{r}_{fw})^T + (\tilde{r}_w + \tilde{u}_w)^T C_w]^T \Phi_{uw} dm_w \\ M_{27} &= \int [C_w(\tilde{r}_{fw})^T + (\tilde{r}_w + \tilde{u}_w)^T C_w]^T \tilde{r}_w^T \Phi_{\psi w} dm_w \\ M_{41} &= M_{14}^T \\ M_{42} &= M_{24}^T \\ M_{44} &= \int \Phi_{uw}^T \Phi_{uw} dm_w \\ M_{47} &= \int \Phi_{uw} \tilde{r}_w^T \Phi_{\psi w} dm_w \\ M_{71} &= M_{17}^T \\ M_{72} &= M_{27}^T \\ M_{74} &= M_{47}^T \\ M_{77} &= \int \Phi_{\psi w}^T \tilde{r}_w \tilde{r}_w^T \Phi_{\psi w} dm_w \end{aligned} \quad (68)$$

$$L = \pi \rho_\infty b^2 (\dot{w} - U\dot{\theta} - ba\dot{\theta}) - C_{L\alpha} \rho_\infty U b \left[ \frac{1}{2} (\dot{w} - U\dot{\theta}) + ba\dot{\theta} - \frac{b}{2} \left( \frac{C_{L\alpha}}{\pi} - 1 \right) \dot{\theta} + \sum_{i=1}^n \gamma_i B_i \right] \quad (69)$$

$$M_{\frac{1}{4}} = -\pi \rho_\infty b^3 \left[ \frac{1}{2} \left( \frac{C_{L\alpha}}{\pi} - 1 \right) U \dot{\theta} + U a \dot{\theta} + a \dot{w} + b \left( \frac{1}{8} + a^2 \right) b \ddot{\theta} - C_{L\alpha} \rho_\infty U b^2 \left( \frac{1}{2} \dot{w} - U \dot{\theta} + ba \dot{\theta} - \frac{b}{2} \left( \frac{C_{L\alpha}}{\pi} - 1 \right) \dot{\theta} + \sum_{i=1}^n \gamma_i B_i \right) \right] \quad (70)$$

$$\dot{B}_i + \left( \beta_i \frac{U}{b} \right) B_i = w_{0.75C} \quad (71)$$

از رابطه زیر حاصل می شود:

$$w_{0.75C} = \dot{w} - U\dot{\theta} + ba\dot{\theta} - \frac{b}{2} \left( \frac{C_{L\alpha}}{\pi} - 1 \right) \dot{\theta} \quad (72)$$

و:

$$\gamma_i = \frac{U}{b} \beta_i \alpha_i \quad (73)$$

ثابت های  $\alpha_i$  و  $\beta_i$  ضرایب استفاده شده در تقریب شبه-چند جمله ای تابع وگنر  $\Phi_w(\tau)$  می باشد:

$$\Phi_w(\tau) = 1 - \sum_{i=1}^n \alpha_i \exp(-\beta_i \tau) H(\tau) \quad (74)$$

این ضرایب برای دو شکل مُد در جدول ۱ آورده شده است:

جدول ۱- ضرایب استفاده شده در تقریب تابع وگنر			
$\alpha_1$	$\alpha_2$	$\beta_1$	$\beta_2$
0.165	0.335	0.0455	0.300

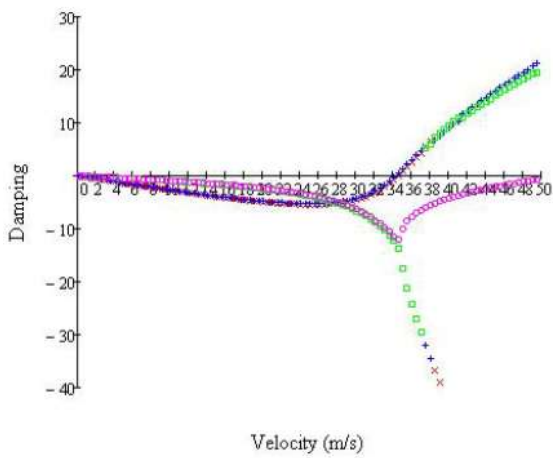
۴-۲ به دست آوردن نمودارهای تحلیل فلاتر بال نوعی معادلات تحلیل فلاتر بال به صورت زیر نمایش داده می شوند:

$$\dot{q}_{uw} = S_{uw} \quad (75)$$

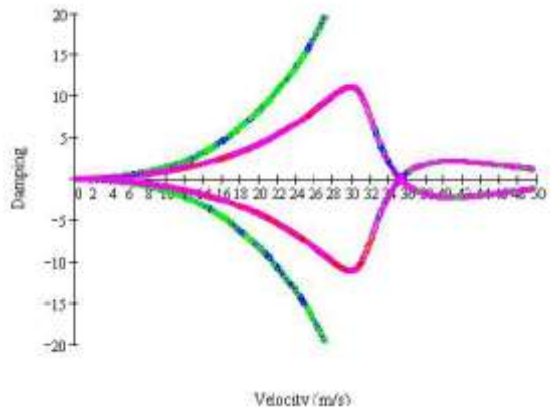
$$\dot{q}_{\psi w} = S_{\psi w} \quad (76)$$

$$\dot{P}_{uw} = -K_{uw} q_{uw} - C_{uw} S_{uw} + Q_{uw} \quad (77)$$

$$\dot{P}_{\psi w} = -K_{\psi w} q_{\psi w} - C_{\psi w} S_{\psi w} + Q_{\psi w} \quad (78)$$



شکل ۵- تغییرات میرایی برحسب سرعت جریان آزاد (مرجع [۱۹] روش p)



شکل ۶- تغییرات میرایی برحسب سرعت جریان آزاد (مرجع [۱۹] روش p-k)

جدول ۳- ضرایب استفاده شده در تقریب تابع وگنر

سرعت فلاتر (فوت بر ثانیه)	
مرجع [۱۸] (روش p)	۱۰۴.۲۴
مرجع [۱۸] (روش p-k)	۱۰۷.۵۸
کار حاضر	۱۰۵.۵۰

از مشاهده شکل های ۴ تا ۶ و نیز جدول ۳ دریافت می شود که سرعت فلاتر برابر ۱۰۵.۵ فوت بر ثانیه است که با مرجع [۱۹] تطابق قابل قبولی را نشان می دهد.

۴-۲- تحلیل فلاتر یک پرنده نمونه

در این بخش فلاتر یک پرنده نمونه با خواص موجود در جدول ۴ بررسی شده است. همانطور که از شکل های ۷ و ۸ مشاهده می شود، سرعت فلاتر

ماتریس S و J به ترتیب عبارتند از؛ اندازه حرکت اول تغییر شکل هواپیما و ماتریس اینرسی تغییر شکل هواپیما. این دو ماتریس به صورت زیر به دست می آیند:

$$\tilde{S} = \int [\tilde{r}_{fw} C_w^T + C_w^T (\tilde{r}_w + \tilde{u}_w)] C_w dm_w \quad (69)$$

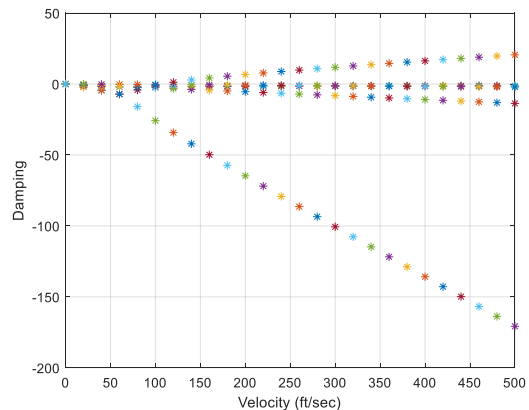
$$J = \int [C_w (\tilde{r}_{fw})^T + (\tilde{r}_w + \tilde{u}_w)^T C_w]^T \times [C_w (\tilde{r}_{fw})^T + (\tilde{r}_w + \tilde{u}_w)^T C_w] dm_w \quad (70)$$

۴-۱- اعتبارسنجی

برای اعتبار سنجی معادلات حاکم، با استفاده از کد عددی نوشته شده در محیط نرم افزار MATLAB و حل آن برای پارامترهای ورودی موجود در مرجع [۱۹]، نتایج حاصل با نتایج گزارش شده در آن مرجع مقایسه شده است. اطلاعات ورودی مرجع [۱۹] در جدول ۲ قابل مشاهده است:

جدول ۲- پارامترهای ورودی مرجع [۱۹]

پارامتر	نماد	مقدار	واحد
جرم هواپر	m	۴۳.۲۱	lb
ممان اینرسی حول محور مرکز جرم	I	۰.۹۱	lb. ft <sup>2</sup>
سختی خمشی	$k_h$	۱۴۷۲.۹۷	lbr. ft
سختی پیچشی	$k_\theta$	۱۹۳۴.۹۲	lbr. ft/Rad
طول وتر	C	۵.۵۴	ft
ضریب فاصله محور الاستیک تا میانه وتر	a	-۰.۲	-
ضریب فاصله محور مرکز جرم تا میانه وتر	$x_\theta$	۰.۴	-



شکل ۴- تغییرات میرایی برحسب سرعت جریان آزاد



$$\dot{q}_{ue} = s_{ue} \quad (71)$$

$$\dot{q}_{\psi e} = s_{\psi e} \quad (72)$$

$$\dot{P}_{ue} = -K_{ue}q_{ue} - C_{ue}s_{ue} + Q_{ue} \quad (73)$$

$$\dot{P}_{\psi e} = -K_{\psi e}q_{\psi e} - C_{\psi e}s_{\psi e} + Q_{\psi e} \quad (74)$$

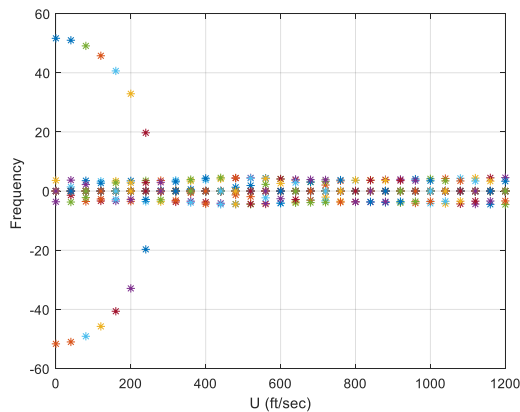
که در روابط فوق متغیرهای موجود به صورت زیر تعریف می‌شوند:

$$\bar{V}_e(r_e, t) = C_e V_f + [C_e(\tilde{r}_e + \tilde{u}_e)^T C_e] \omega_f + \tilde{r}_e^T \alpha_e + v_e \quad (75)$$

همان نیروهای اثرودینامیکی وارد بر دم است. بنابراین، درایه‌های ماتریس M مربوط به دم نیز با استفاده از تعریف انرژی جنبشی به دست می‌آید:

$$\begin{aligned} M_{15} &= C_e^T \int \Phi_{ue} dm_e \\ M_{18} &= C_e^T \int \tilde{r}_e^T \Phi_{\psi e} dm_e \\ M_{25} &= \int [C_e(\tilde{r}_{fe})^T + (\tilde{r}_e + \tilde{u}_e)^T C_e]^T \Phi_{ue} dm_e \\ M_{28} &= \int [C_e(\tilde{r}_{fe})^T + (\tilde{r}_e + \tilde{u}_e)^T C_e]^T \tilde{r}_e^T \Phi_{\psi e} dm_e \end{aligned} \quad (76)$$

با تحلیل پایداری ۱۸ معادله فوق (۶ معادله صلب، ۶ معادله الاستیک بال و ۶ معادله الاستیک دم) ناحیه پایداری و نیز سرعت و فرکانس فلاتر بدست می‌آید:

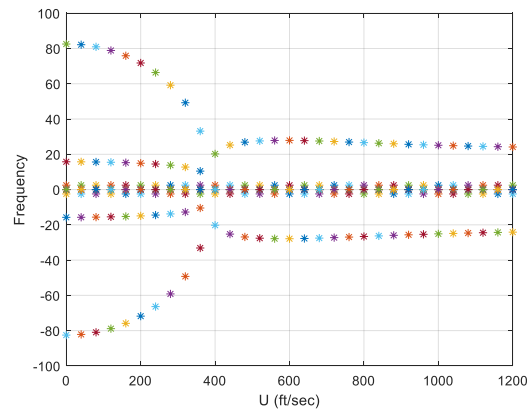


شکل ۹- تغییرات فرکانس برحسب سرعت جریان آزاد

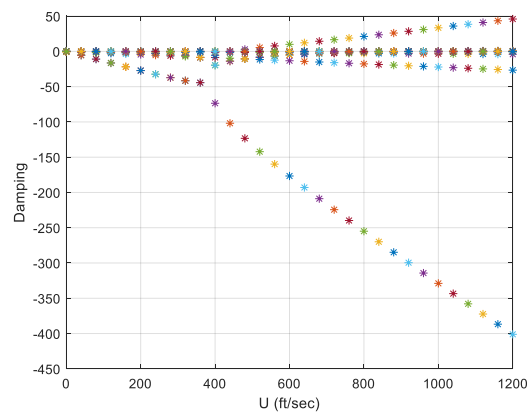
پرنده ۴۷۵ فوت بر ثانیه و فرکانس ناپایداری نیز حدود ۳۰ رادیان بر ثانیه خواهد بود.

جدول ۴- پارامترهای ورودی

پارامتر	نماد	مقدار	واحد
جرم پرنده	m	۴۰۳۰۷۵	slug
ارتفاع پروازی	h	۲۵۰۰۰	ft
ماخ پروازی	Mach	۰.۴۱	-
ضریب لیفت بال	$C_{L_{aw}}$	۷.۱۵	$Rad^{-1}$
ضریب لیفت دم	$C_{L_{ae}}$	۲.۴۸	$Rad^{-1}$
ضریب گشتاور	$C_{m_a}$	-۰.۰۷۷	$Rad^{-1}$
وتر بال	C	۶.۶۶	ft
وتر دم	Ce	۴.۴۸	ft
سرعت پرنده	V	۴۱۶.۷	ft/sec
$\tilde{S}^{(0)} = \begin{bmatrix} 0 & -134.68 & 0 \\ 134.68 & 0 & 0 \\ 0 & 0 & 0 \end{bmatrix}$			
$J^{(0)} = \begin{bmatrix} 15265.29 & 0.40 & -3135.41 \\ 0.40 & 47194.07 & 6.76 \\ -3135.41 & 6.76 & 58684.88 \end{bmatrix}$			



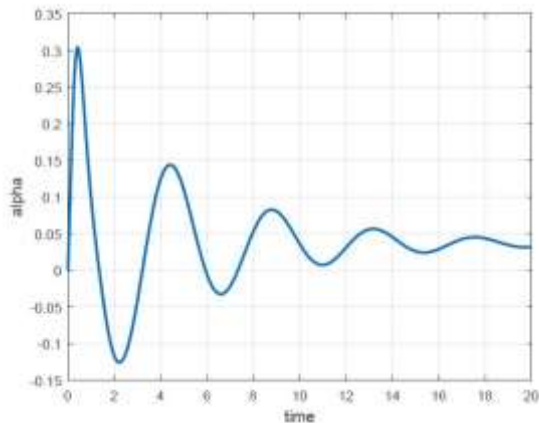
شکل ۷- تغییرات فرکانس برحسب سرعت جریان آزاد



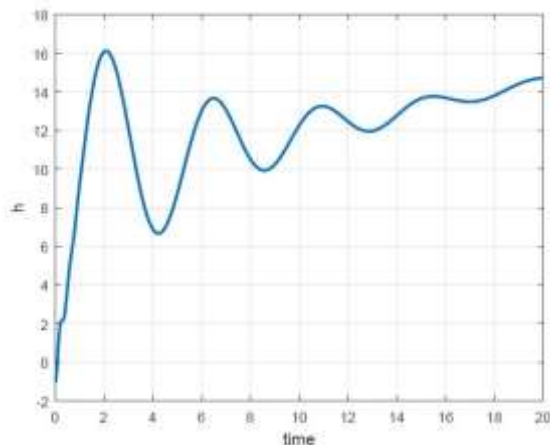
شکل ۸- تغییرات میرایی برحسب سرعت جریان آزاد

در ادامه برای بررسی اثر دم روی فلاتر پرنده کافی است شش معادله فلاتر دم به طور مشابه استخراج شده و به معادلات قبلی کوپل گردد:

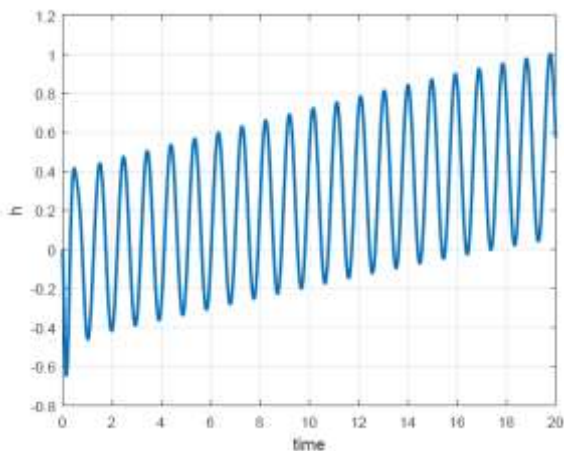
دستور ode45 در نرم افزار MATLAB (روش رانگ کوتا مرتبه ۴) استفاده شده است که نتایج آن به صورت زیر است:



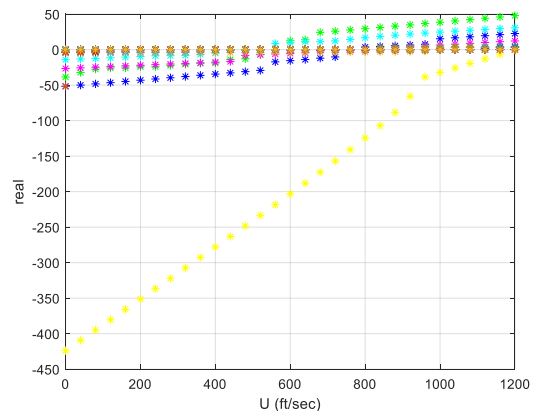
شکل ۱۱- پاسخ برای حالت  $U < U_f$



شکل ۱۲- پاسخ برای حالت  $U < U_f$



شکل ۱۳- پاسخ برای حالت  $U = U_f$



شکل ۱۰- تغییرات میرایی بر حسب سرعت جریان آزاد

با توجه به نمودارهای شکل‌های ۹ و ۱۰ سرعت فلاتر حدود ۵۲۰ فوت بر ثانیه و فرکانس آن ۱۵ رادیان بر ثانیه است که نشان می‌دهد اضافه کردن دم، سختی و در نتیجه سرعت فلاتر پرنده را افزایش می‌دهد.

#### ۴-۳- اثر گاست

برای در نظر گرفتن اثر گاست در معادلات، در واقع سرعت القایی ناشی از حرکت سازه ( $\omega_a$ ) برابر می‌شود با  $-\omega_g$ . در حالت وجود گاست ترم اول معادلات تئودورسون وجود ندارد و ایرفویل به صورت خط در نظر گرفته می‌شود. با اعمال گاست ثابت به صورت زیر:

$$\begin{aligned} 0 & \quad x + b > ut \\ w^\circ & \quad x + b < ut \end{aligned}$$

و با قرار دادن  $-\omega_g$  به جای  $\omega_a$  در معادله تئودورسون و نیز تخمین زدن تابع castner به صورت زیر، معادلات آیروالاستیک حاصل می‌شود [۱۸]:

$$\psi(s) = 1 - \frac{1}{2} e^{-13s} - \frac{1}{2} e^{-s} \quad (77)$$

$$L_{gust} = 2\pi\rho b w^\circ \psi(s) \quad (78)$$

$$M_{gust} = b \left( \frac{1}{2} + a \right) L_{gust} \quad (79)$$

و شکل ماتریسی دستگاه معادلات آیروالاستیک به صورت زیر خواهد شد:

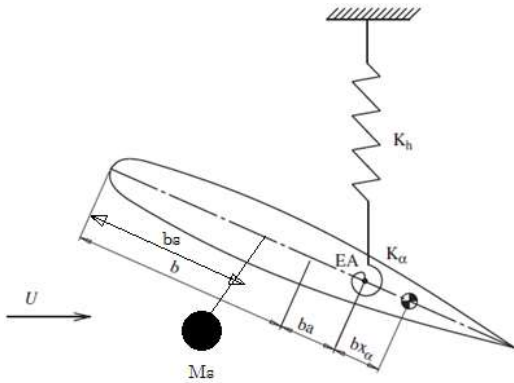
$$M_s \ddot{q} + C_s \dot{q} + K_s q = E(h, \alpha) + F(B_i) + \begin{Bmatrix} -L \\ M \end{Bmatrix}_{gust} \quad (80)$$

$$\dot{B}_i = \beta_i B_i + \omega_a(s) \quad (81)$$

در ادامه با در نظر گرفتن گاست ثابت ۶ فوت بر ثانیه و تشکیل دستگاه فوق برای بال آیروالاستیک و کوپل آن به معادلات صلب بدنه دستگاه معادلات دیفرانسیل مرتبه اولی با ۱۲ معادله حاصل می‌گردد که برای حل آن از

۴-۴ اثر sloshing

اثر تلاطم سوخت بر فلاتر به صورت یک حرکت پاندولی که یک درجه آزادی دورانی به مسئله اضافه می‌کند، همانند شکل ۱۷ مدل شده است.



شکل ۱۷- شکل شماتیک اثر sloshing

برای حل مسئله با حضور اثر sloshing ابتدا انرژی‌های جنبشی و پتانسیل استخراج شده و سپس، با استفاده از معادلات لاگرانژ معادلات حاکم بر مسئله حاصل می‌شوند.

$$T = \frac{1}{2}m(\dot{h}^2 + 2bx_\theta\dot{h}\dot{\theta}) + \frac{1}{2}I_p\dot{\theta}^2 + \frac{1}{2}I_{p\text{andul}}(\dot{\alpha} - \dot{\theta})^2 + \frac{1}{2}M_s\dot{h}^2 \quad (۸۲)$$

$$U = \frac{1}{2}k_h h^2 + \frac{1}{2}k_\theta \theta^2 + M_s g(l(-\cos(-\theta)) + b_s \theta) \quad (۸۳)$$

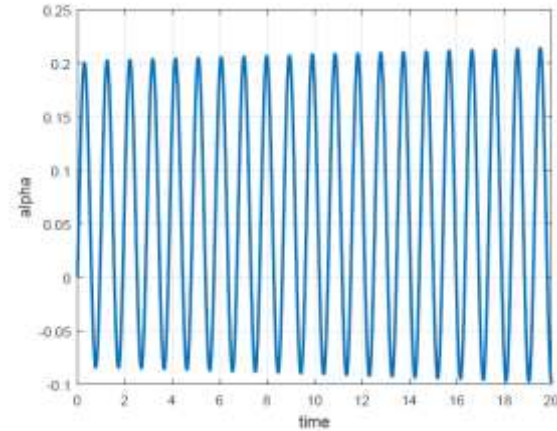
$$I_p = I_c + mb^2 x_\theta^2 \quad (۸۴)$$

برای بدست آوردن انرژی پتانسیل نیروی وزن آونگ، مبدا پتانسیل خط افقی مماس بر لبه حمله ایرفویل در نظر گرفته شده است.

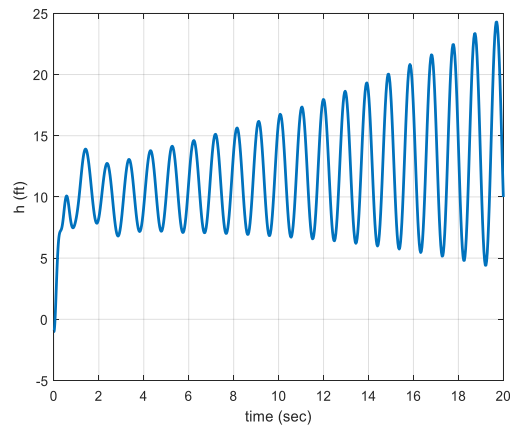
$$(m + M_s)\ddot{h} + mbx_\theta\ddot{\theta} + k_h h = -L \quad (۸۵)$$

$$I_p\ddot{\theta} + mbx_\theta\ddot{h} + k_\theta\theta - M_s g l(\alpha - \theta) + M_s g b_s - I_{p\text{andul}}(\ddot{\alpha} - \ddot{\theta}) = M \quad (۸۶)$$

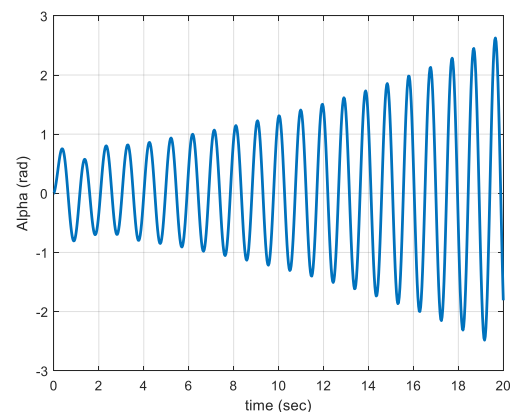
$$M_s g l(\alpha - \theta) + I_{p\text{andul}}(\ddot{\alpha} - \ddot{\theta}) = 0 \quad (۸۷)$$



شکل ۱۴- پاسخ برای حالت U=Uf

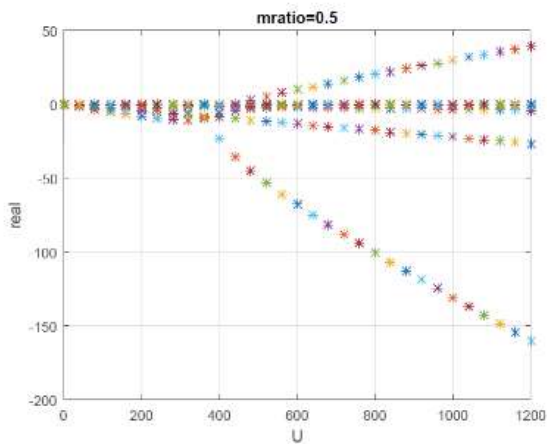


شکل ۱۵- پاسخ برای حالت U>Uf

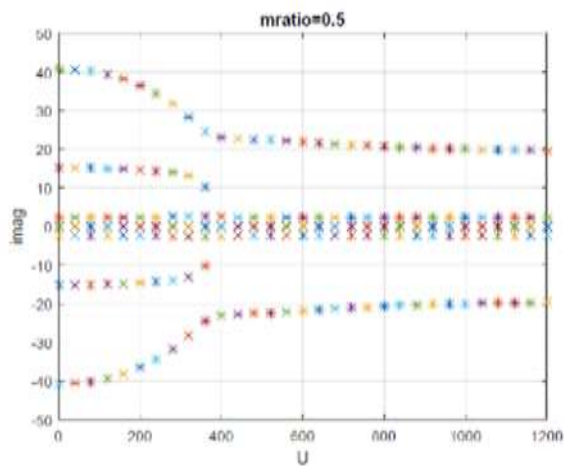


شکل ۱۶- پاسخ برای حالت U>Uf

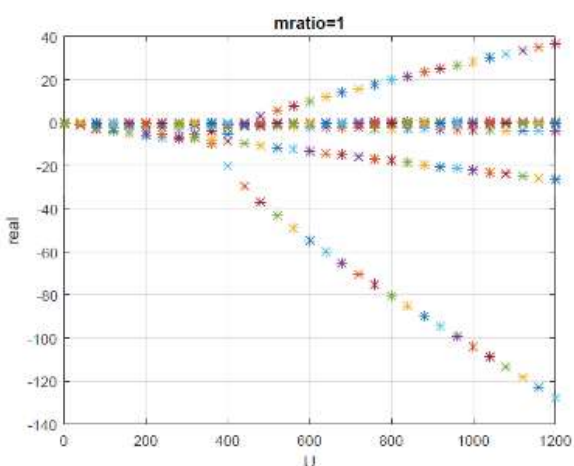
همانطور که از شکل‌های ۱۱ و ۱۲ مشاهده می‌شود، در سرعت‌های پایین‌تر از سرعت گاست پرنده پایداری خود را حفظ کرده و گاست وارد شده دمپ می‌شود. شکل‌های ۱۳ و ۱۴ بیان می‌کنند که در سرعت برابر با سرعت گاست پرنده در مرز پایداری قرار می‌گیرد و از مشاهده شکل‌های ۱۵ و ۱۶ دریافت می‌شود که در سرعت‌های بالاتر از سرعت گاست پرنده پایداری خود را از دست داده و پاسخ واگرا می‌شود.



شکل ۲۰- دمپینگ برای نسبت جرمی ۰.۵



شکل ۲۱- فرکانس برای نسبت جرمی ۰.۵



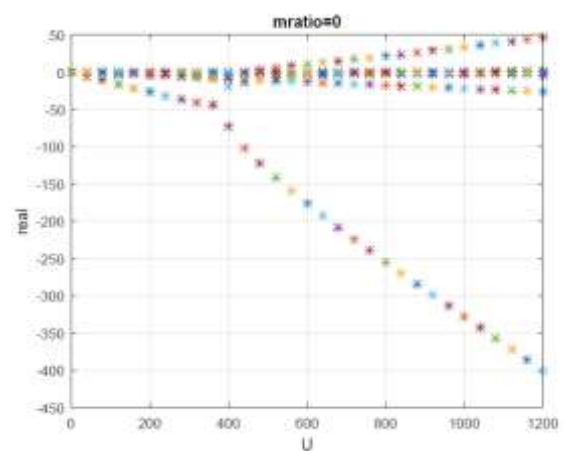
شکل ۲۲- دمپینگ برای نسبت جرمی ۱

با جاگذاری معادله سوم در معادله دوم دستگاه معادلات به صورت زیر برای معادلات الاستیک بال حاصل می‌شود:

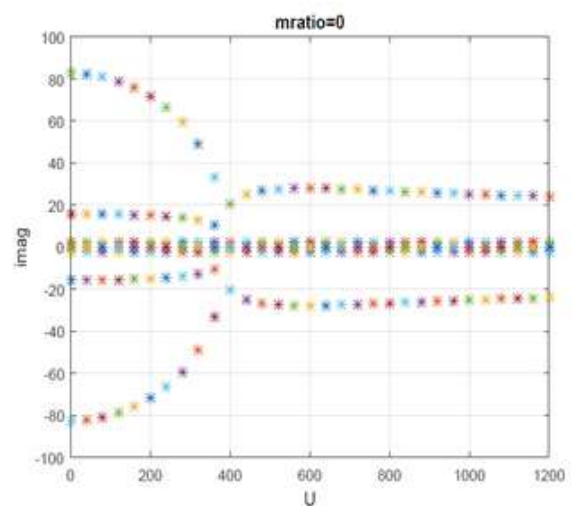
$$(m + M_s)\ddot{h} + mbx_\theta\ddot{\theta} + k_h h = -L \quad (۸۸)$$

$$I_p\ddot{\theta} + mbx_\theta\dot{h} + k_\theta\theta + M_s g b_s = M \quad (۸۹)$$

با کوپل کردن معادلات فوق با معادلات صلب بدنه برای  $\frac{M_s}{m}$  مختلف نتایج زیر حاصل می‌شود:

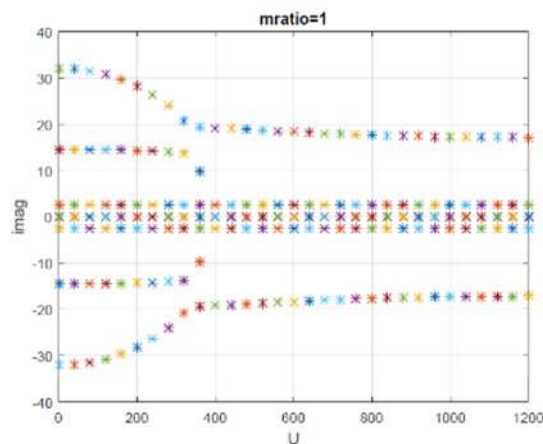


شکل ۱۸- دمپینگ برای نسبت جرمی ۰



شکل ۱۹- فرکانس برای نسبت جرمی ۰

- Thin-walled structures 44.9 (2006): 931-936.
- [5] Park, J., Morgenthal, G., Kim, K., Kwon, S., & Law, K. Power evaluation for flutter-based electromagnetic energy harvester using cfd simulations. Paper presented at the Proceedings of first international conference on performance-based and life-cycle structural engineering (2012).
- [6] Takahashi, I. Identification for critical flutter load and boundary conditions of a beam using neural networks. *Journal of sound and vibration*, 228(4). (1999):857-870.
- [7] Mannarino, A., & Mantegazza, P. Nonlinear aeroelastic reduced order modeling by recurrent neural networks. *Journal of Fluids and Structures*, 48, (2014): 103-121.
- [8] Fazelzadeh, S., Marzocca, P., Rashidi, E., & Mazidi, A. Effects of rolling maneuver on divergence and flutter of aircraft wing store. *Journal of Aircraft*, 47(1), (2010): 64-70.
- [9] Housner, J. M., & Stein, M. Flutter analysis of swept-wing subsonic aircraft with parameter studies of composite wings (1974).
- [10] Lottati, I. Aeroelastic stability characteristics of a composite swept wing with tip weights for an unrestrained vehicle. *Journal of Aircraft*, 24(11), (1987): 793-802.
- [11] Patil, M. J., Hodges, D. H., & S. Cesnik, C. E. Nonlinear aeroelastic analysis of complete aircraft in subsonic flow. *Journal of Aircraft*, 37(5), (2000): 753-760.
- [12] Qin, Z., and L. Librescu. "Aeroelastic instability of aircraft wings modelled as anisotropic composite thin-walled beams in incompressible flow." *Journal of fluids and structures* 18.1 (2003): 43-61.
- [13] Farhat, Charbel, et al. "Modeling of fuel sloshing and its physical effects on flutter." *AIAA journal* 51.9 (2013): 2252-2265.
- [14] Zhang, Jiaying, et al. "Aeroelastic model and analysis of an active camber morphing wing." *Aerospace Science and Technology* 111 (2021): 106534.
- [15] Mastroddi, Franco, et al. "Aircraft-Fuel Sloshing ROMs for Aeroelastic Analyses." *International Forum on Aeroelasticity and Structural Dynamics. Savannah, Georgia, USA, paper. Vol. 92.* 2019.
- [16] Meirovitch, L., and T. Stemple. "Hybrid equations of motion for flexible multibody systems using quasicordinates." *Journal of Guidance, Control, and Dynamics* 18.4 (1995): 678-688.
- [17] Theodorsen, Theodore. *General theory of aerodynamic instability and the mechanism of flutter*. No. NACA-TR-496. 1949.
- [18] Theodorsen, Theodore, and I. E. Garrick. *Mechanism of flutter a theoretical and experimental investigation of the flutter problem*. NATIONAL AERONAUTICS AND SPACE ADMINISTRATION WASHINGTON DC, 1940.
- [19] Kargarnovin, M. H., and A. Mamandi. "Aeroelastic response for pure plunging motion of a typical section due to sharp edged gust, using Jones approximation aerodynamics." *World Academy of Science, Engineering and Technology* 36.1 (2007): 154-161.



شکل ۲۳- فرکانس برای نسبت جرمی ۱

جدول ۵- تاثیر sloshing بر سرعت فلاتر

سرعت فلاتر (فوت بر ثانیه)	$\frac{Ms}{m}$
۷۴۵	۰
۶۰۰	۰.۵
۴۵۰	۱

با توجه به جدول ۵ و شکل های ۱۸ تا ۲۳ مشاهده می شود که با افزایش جرم سوخت سرعت فلاتر و همین طور فرکانس ناپایداری کاهش می یابد.

#### ۵- نتیجه گیری

در این مقاله پایداری دینامیکی یک پرند با سه درجه آزادی مطالعه شده است. معادلات حرکت صلب پرند با استفاده از روش لاگرانژ استخراج شده است و سپس، معادلات الاستیک مربوط به بال و دم نیز استخراج شده و به معادلات صلب کوپل شده است. در مرحله بعد، معادلات به فضای حالت برده شده و ماتریس ضرایب استخراج شده است. در نهایت با استفاده از کد عددی MATLAB مسئله فلاتر با استفاده از روش p تحلیل و سرعت و فرکانس های بحرانی در حالت های مختلف بدست آمده است. در ادامه، اثر پارامترهایی مانند گاست و تلاطم سوخت روی پایداری پرند بررسی شده و مشاهده گردید که پرند پایداری لازم را در برابر گاست اعمالی دارا بوده و نیز افزایش جرم سوخت می تواند منجر به کاهش سرعت فلاتر پرند گردد.

#### ۶- مراجع

- [1] Meirovitch, L. "A unified theory for the flight dynamics and aeroelasticity of whole aircraft." *Proceedings of the Eleventh Symposium on Structural Dynamics and Control*. Blacksburg, VA, 1997.
- [2] Prabhu, L., and J. Srinivas. "INTERNATIONAL JOURNAL OF RESEARCH IN AERONAUTICAL AND MECHANICAL ENGINEERING." (2014).
- [3] Moosavi M R, Naddaf Oskouei A, Khelli A. Flutter of subsonic wing, *Thin wall Struct*, 43, 4, (2005): 617-627.
- [4] Haddadpour, H., and R. D. Firouz-Abadi. "Evaluation of quasi-steady aerodynamic modeling for flutter prediction of aircraft wings in incompressible flow."